

## شیمی کانی و زمین دما فشار سنجی تبلور سنگ‌های گابرویی منطقه دهسرد (جنوب‌شرق ایران)

مهدي ابراهيمزاد<sup>۱\*</sup>، محسن آروين<sup>۲</sup>، سارا درگاهي<sup>۳</sup>، کازو ناكاشيمما<sup>۴</sup>

۱- گروه زمین شناسی دانشگاه پیام نور کرمان

۲- گروه زمین شناسی، دانشکده علوم، دانشگاه شهری باهنر، کرمان

۳- گروه علوم زمین و محیط زیست دانشگاه یامانگاتا، یامانگاتا، ژاپن

(دریافت مقاله: ۹۸/۱۱/۲۱، نسخه نهایی: ۹۹/۱/۲۷)

چکیده: توده گابرویی منطقه دهسرد به سن ترباس پسین در جنوب‌غرب کرمان و جنوبی‌ترین بخش پهنه سندج- سیرجان قرار دارد. براساس پیمایش‌های صحرایی و بررسی‌های سنگ نگاری، این توده مافیکی از نوع هورنبلند گابرو است. توده گابرویی مورد بررسی شامل کانی‌های پلازیوکلاز، کلینوپیروکسن، آمفیبول، تیتانیت، آپاتیت، اپیدوت و کلریت است. بررسی شیمی کانی‌ها نشان می‌دهد که ترکیب پلازیوکلازها از نوع آلبیت تا الیگوکلاز است و کلینوپیروکسن‌ها از نوع دیوپسید هستند. کلینوپیروکسن‌های مورد بررسی در گستره کلسیم، منیزیم و آهن‌دار واقع هستند. آمفیبول‌ها در گروه آمفیبول‌های کلسیم‌دار و از نوع مگنزیو‌هورنبلند و اکتینولیت هستند. بررسی زمین‌دماسنجی کلینوپیروکسن و آمفیبول گابروها دمای ۱۰۰۰ تا ۱۲۰۰ درجه سانتی‌گراد را برای تبلور این سنگ‌ها تعیین می‌کند. زمین‌فشار سنجی بر اساس کانی کلینوپیروکسن، فشار تبلور سنگ‌های گابرویی مورد بررسی را در گستره ۵,۵۸-۲,۰۵ کیلوبار معادل عمق میانگین ۱۴ کیلومتر تعیین می‌کند. ترکیب شیمیایی کانی‌های کلینوپیروکسن و آمفیبول‌ها نشان‌دهنده تبلور آنها از ماغمایی نیمه قلیایی- آهکی قلیایی است. محیط پیدایش این مagmaها کمان آتش‌شناختی وابسته به محیط فروراش است.

واژه‌های کلیدی: دهسرد؛ دما- فشار سنجی؛ کلینوپیروکسن؛ آمفیبول؛ آهکی قلیایی؛ کمان آتش‌شناختی.

شده‌اند [۹، ۱۰]. گابروها از سنگ‌های درونی بازی هستند که به صورت بلورین و اغلب دانه درشت یافت می‌شوند. بررسی‌های بسیاری بر گابروهای موجود در سرزمین ایران صورت گرفته است [۱۱-۱۵]. از مهمترین مناطق پیدایش گابروها مراکز گسترش اقیانوس، جزایر اقیانوسی، کافت قاره‌ای و مناطق فرورانش هستند [۱۶]. گابروها براساس ترکیب کانی‌شناسی به انواع مختلفی تقسیم می‌شوند که در منطقه دهسرد، توده گابرویی با توجه به درصد کانی‌های اصلی پلازیوکلاز، پیروکسن و آمفیبول، شامل سنگ هورنبلند گابرو است.

از آنجا که ترکیب شیمیایی کانی‌های سنگ از سری ماغمایی سنگ میزان پیروی می‌کند [۱۷، ۱۸]، برپایه شیمی- کانی‌ها می‌توان به شناخت فرایندهای ماغمایی پی برد. بررسی

مقدمه  
پهنه سندج- سیرجان به طول ۱۵۰۰ کیلومتر، از سنگ‌های آتش‌شناختی رسوی مزوژوئیک، مجموعه‌های آذرین نفوذی و همراه با دگرگونی چندگانه تشکیل شده است [۳-۱]. اتصال بین صفحه عربی و خردۀ قاره ایران مرکزی توسط دو مجموعه افیولیتی فرارو نیریز و کرمانشاه (به ترتیب در استان فارس و لرستان) در بخش جنوبی پهنه سندج- سیرجان قابل تشخیص است [۴-۶]. پهنه سندج- سیرجان و واحدهای نفوذی موجود در آن موضوع پژوهش‌های سنگ‌شناسی، ساختاری و زمین‌شناسی بسیاری بوده‌اند [۷، ۸]. توده‌های نفوذی گابرویی به سن مزوژوئیک به دلیل فروراش پوسته اقیانوسی نشوتنیس به زیر پهنه سندج- سیرجان در جنوب ایران مرکزی تشکیل

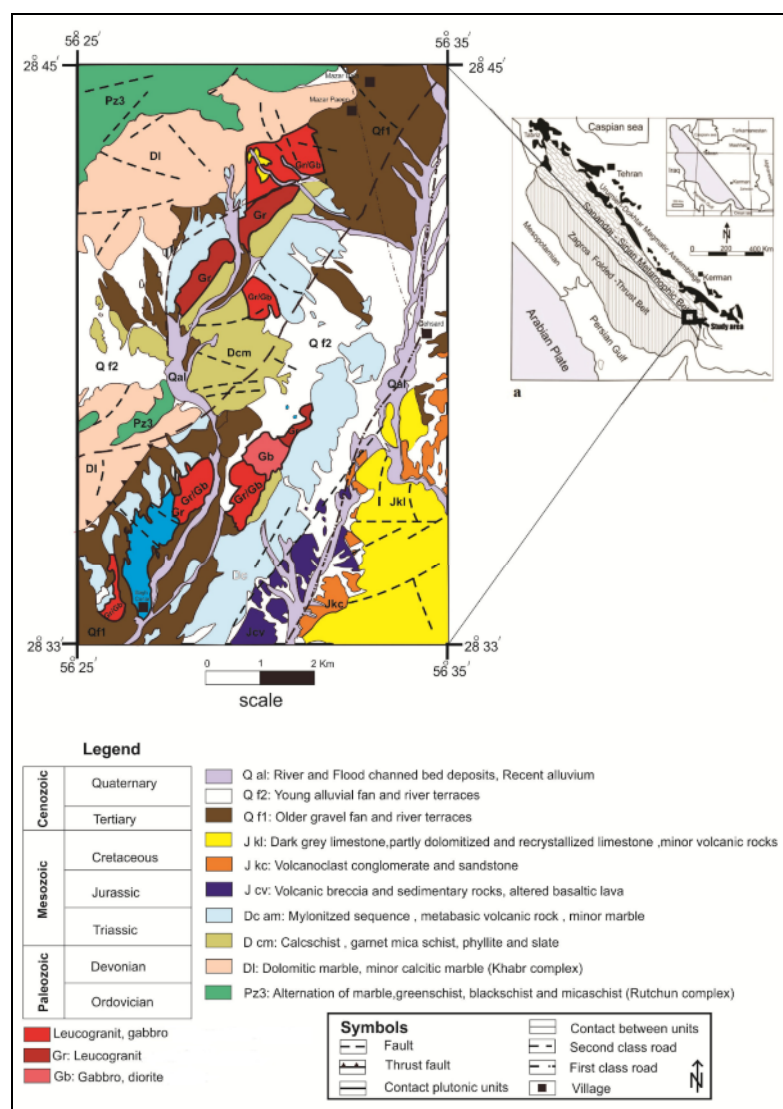
سن تریاس پسین در ۲۳۰ کیلومتری جنوب‌غرب کرمان و در جنوبی‌ترین بخش پهنه سندج-سیرجان، بین طول‌های جغرافیایی  $35^{\circ} - 25^{\circ}$  شرقی و عرض‌های جغرافیایی  $33^{\circ} - 28^{\circ}$  شمالی واقع هستند (شکل ۱) [۲۵].

حال لایه‌ای در بعضی از سنگ‌های منطقه به علت توالی توده فلزی و مافیک دیده می‌شود (شکل ۲ الف). توده مافیک موجود در منطقه شامل هورنبند گابروها بوده و فاز فلزی شامل سنگ‌های گرانیت‌وئیدی است. فاز فلزی منطقه مورد بررسی گاهی به درون فاز مافیک به صورت دایک نفوذ کرده است و گاهی نیز به صورت توده با فاز مافیک مرز مشخص دارد (شکل‌های ۲ ب تا ت). رگه‌های آپلیتی که نشان‌دهنده فاز آخر بلور ماقمایی است نیز در منطقه رخنمون دارند.

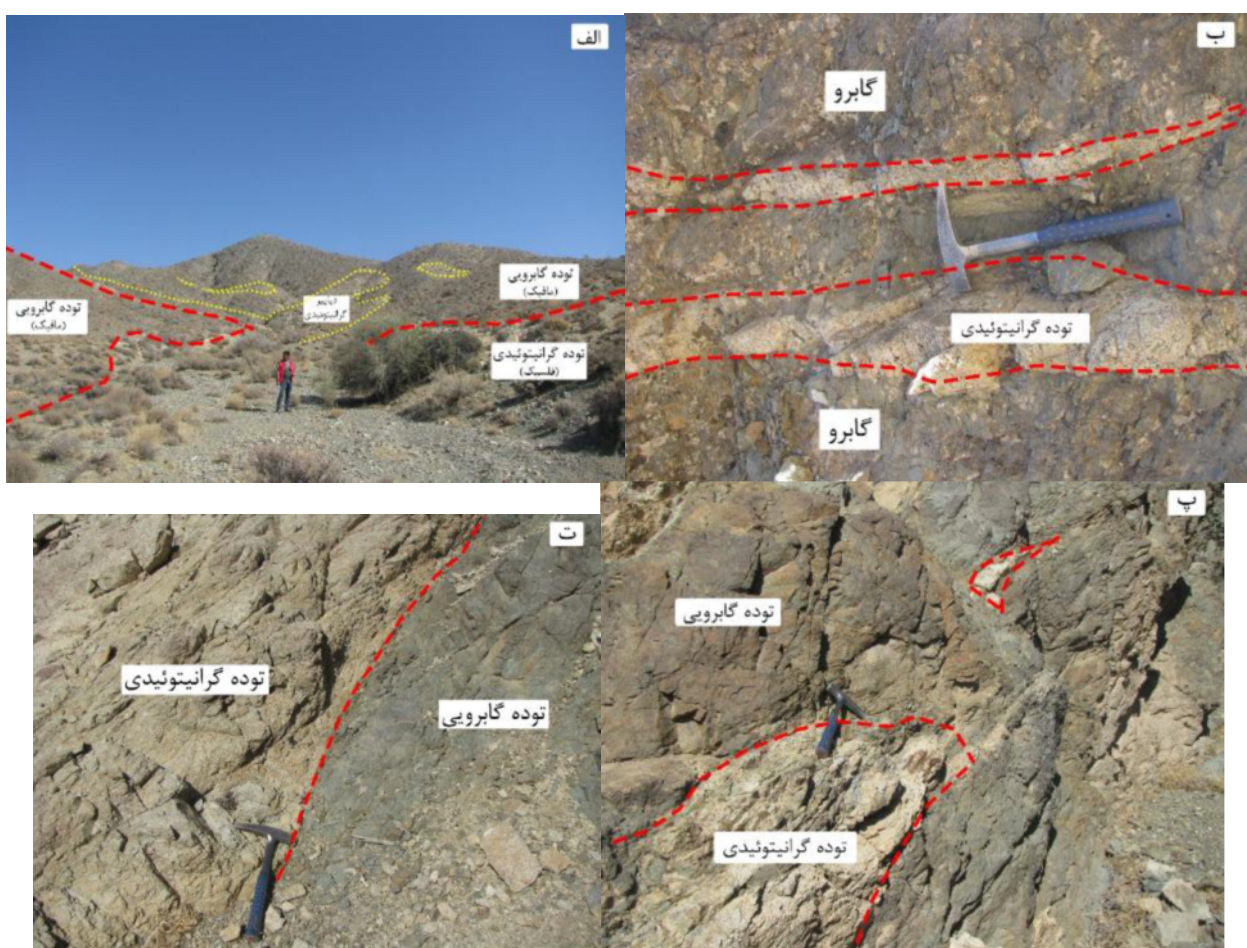
شرایط تبلور و فرایندهای اثرگذار بر تبلور کانی، دگرگونی‌های ماگمایی سنگ میزبان را مشخص می‌کند [۱۹]. در این پژوهش، با استفاده از داده‌های شیمی‌کانی پیروکسن و پلازیوکلاز گابروهای منطقه دهسرد به شرایط دما و فشار تبلور این کانی‌ها پی برده و خاستگاه زمین‌ساختی آنها بررسی شد.

#### زمین‌شناسی

از آنجا که فلات ایران بخشی از کمربند کوه‌زایی آلپ-هیمالیا در نظر گرفته می‌شود، باز و بسته شدن اقیانوس‌های پالئوتیس و نئوتیس در دگرگونی‌های زمین‌شناسی آن نقش اساسی دارند [۲۰]. پهنه سندج-سیرجان پیچیده‌ترین منطقه ساختاری ایران است [۲۱، ۲۲]. رخدادهای اصلی دگرگونی و فعالیت ماگمایی پهنه سندج-سیرجان به مزوژوئیک نسبت داده شده است [۲۳، ۲۴]. توده‌های نفوذی منطقه دهسرد با



شکل ۱ نقشه ساده شده زمین‌شناسی منطقه مورد بررسی [۲۵].



شکل ۲ (الف) نمایی از توده گابرویی و گرانیتوئیدی منطقه ده سرد که در بخش‌هایی از منطقه فاز فلزیک به صورت دیاپیری رخنمون دارد؛ (ب) حضور رگه گرانیتی در گابروهای مورد بررسی؛ (پ و ت) نمایی از مز تماش توده گرانیتوئیدی با توده گابرویی منطقه ده سرد.

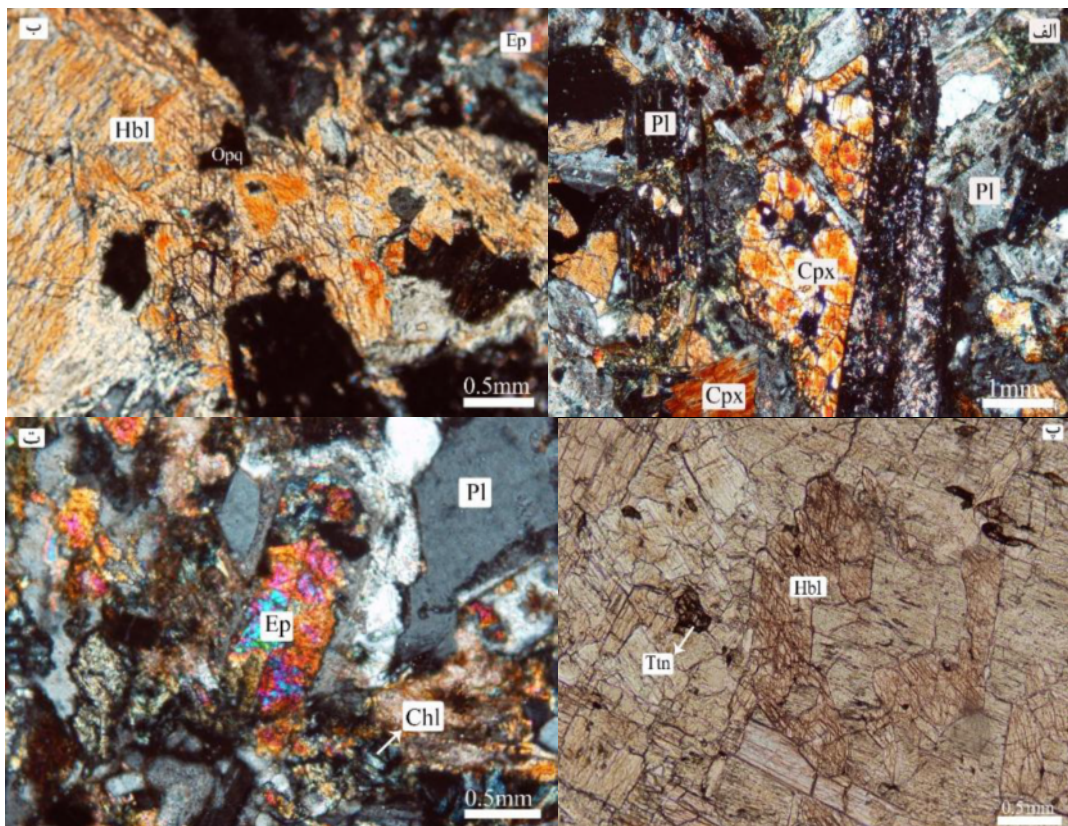
(الف) و میان‌دانه‌ای است و بافت‌های پورفیری و خال حال نیز در آنها دیده می‌شود. ترکیب این سنگ‌ها در گستره هورنبلند گابرو است. ترکیب کانی‌شناسی غالب این سنگ‌ها شامل پلاژیوکلاز، کلینوپیروکسن و آمفیبول است (شکل ۳ ب و پ). از دیگر کانی‌های موجود می‌توان به آپاتیت و تیتانیت، اپیدوت و کلریت اشاره کرد (شکل ۳ ت). پلاژیوکلازها فراوانترین کانی اصلی موجود در این سنگ‌ها هستند و ۲۵ تا ۵۵ درصد حجمی سنگ‌ها را شامل می‌شوند. پلاژیوکلازها شکل دار تا نیمه‌شکل‌دار هستند و ماکل چندريخت موجود در این کانی‌ها بر اثر دگرسانی سریستی آشکارا قابل دیده نیست. آمفیبول‌های موجود در این سنگ‌ها با ۱۰ تا ۳۵ درصد حجمی از نوع هورنبلند و اکتینولیت هستند و رخ هورنبلند در این کانی‌ها به خوبی دیده می‌شود. کلینوپیروکسن‌ها بی‌شک تا نیمه‌شکل‌دار هستند و حدود ۱۰ تا ۳۰ درصد حجم سنگ را تشکیل می‌دهند.

### روش پژوهش

بررسی‌های صحرایی با انتخاب نمونه‌ها مناسب انجام شد. در ادامه با تهییه مقاطع میکروسکوپی و بررسی‌های سنگ‌نگاری برای شناخت دقیق کانی پیروکسن و پلاژیوکلاز موجود در گابروهای منطقه ده سرد، تجزیه ریزکاوالکترونی بر کانی‌ها توسط دستگاه مدل JEOL-JX8600M با ولتاژ شتابدهنده ۱۵ کیلوولت و جریان تابشی  $20\text{ nA}$  در بخش علوم زمین دانشگاه یاماگاتای ژاپن انجام شد. زمان تجزیه هر نقطه بسته به نوع کانی و عناصر مورد نیاز برای تجزیه از ۳۰ ثانیه تا ۵ دقیقه متغیر بود. استانداردهای واسنجی برای کانی‌های یاد شده آپاتیت، ولستونیت، آلبیت، آدلاریا،  $\text{SiO}_2$  آزمایشگاهی،  $\text{TiO}_2$ ,  $\text{NaCl}$ ,  $\text{Al}_2\text{O}_3$ ,  $\text{Fe}_2\text{O}_3$ ,  $\text{MnO}$ ,  $\text{MgO}$ ,  $\text{CaF}_2$

### سنگ‌شناسی

توده گابرویی مورد بررسی در نمونه دستی به رنگ خاکستری تیره تا سیاه است. بافت غالب این سنگ‌ها دانه‌ای (شکل ۳



**شکل ۳ تصاویر میکروسکوپی هورنبلندگابروهای منطقه دهسرد:** (الف) بافت دانه‌ای موجود در هورنبلندگابروهای مورد بررسی (در نور قطبیده مقاطع XPL); ب و پ) رخ موجود در کانی هورنبلند در گابروهای مورد بررسی (به ترتیب در نورهای قطبیده مقاطع و قطبیده صفحه‌ای); ت) کانی‌های ثانویه اپیدوت، کلریت و کدر برآمده از دگرسانی اپیدوتی و کلریتی رخ داده در هورنبلندگابروهای مورد بررسی (در نور Cpx). Hbl: هورنبلند، Pl: پلازیوکلاز، Ep: اپیدوت، Chl: کلریت، Ttn: تیتانیت (اسفن).

در نمودار مثلثی ولاستونیت- انسستاتیت- فروسیلیت از نوع دیوپسید است (شکل ۴ ب). در نمودار  $Ti-Na-Al^{IV}$ ، بیشتر نمونه‌های کلینوپیروکسن مورد نظر درصد مولی  $CaTs$ <sup>1</sup> بیش از ۵۰ درصد دارند و غنی شده از کلسیم ( $CaTs$ ) هستند (شکل ۴ پ) [۲۸]. با توجه به نمودار J-Q [۲۷]، کلینوپیروکسن‌های مورد بررسی از نوع کلینوپیروکسن‌های Quad (Ca-Mg-Fe) هستند (شکل ۴ ت). با توجه به مقادیر Ti، Cr و Na (به ترتیب صفر، ۰/۰۱ تا ۳/۵ و ۰/۰۰۱ تا ۰/۴۳) در نمودار شمار اتم  $Al^{tot}$  نسبت به مجموع اتم‌های  $Ti+Cr+Na$  در ساختار کانی، پیروکسن‌های بررسی شده در گستره ترکیبی کلینوپیروکسن‌های ماگمایی واقع هستند (شکل ۴ ث) [۲۹]. عدد منیزیم  $Mg\# = Mg/(Fe+Mg)$ . کمتر از ۸۶ درصد در کلینوپیروکسن‌ها نشان‌دهنده جدایش بلور از ماگمات است [۳۰، ۳۱]، عدد منیزیم نمونه‌های مورد بررسی (با میانگین ۰/۸۱) ماگمایی، بودن این نمونه‌ها را تایید می‌کند.

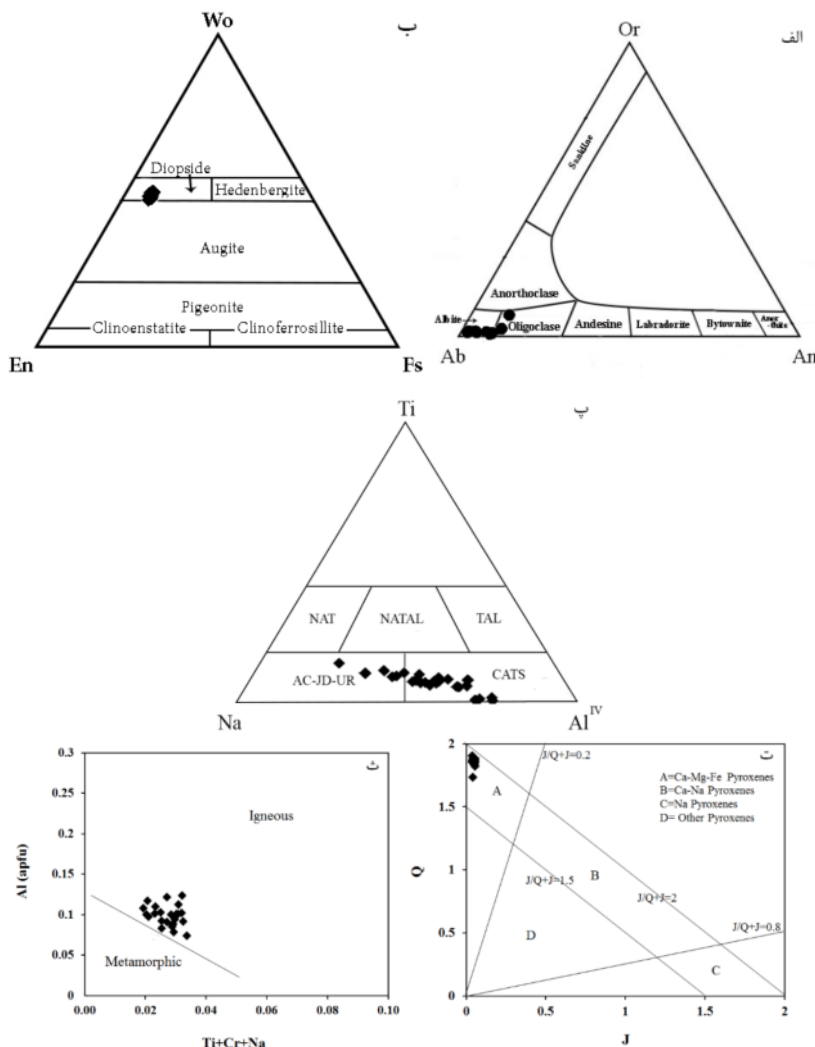
شیمی کانی‌ها

**پلازیوکلاز:** این کانی اصلی‌ترین کانی موجود در سنگ‌های گابرویی مورد بررسی است. فرمول ساختاری پلازیوکلازها محاسبه شده براساس ۸ اکسیژن و نتایج تجزیه این کانی‌ها در جدول ۱ رائه شده است. دیده می‌شود که پلازیوکلازهای موجود در گابروهای مورد بررسی در گستره آلبیت تا الیکوکلاز قرار دارند (شکل ۴ الف). مقدار آنورتیت پلازیوکلازها از  $An_{10.65}$  تا  $An_{1.35}$  متغیر است. بافت منطقه‌ای در پلازیوکلازهای مورد بررسی دیده نمی‌شود که نشان دهنده شد تعادل، طی، تبلو، کانی‌های پلازیوکلاز است [۲۶].

**پیروکسن:** ترکیب پیروکسن‌ها در گستره  $\text{En}_{1.90}\text{Fs}_{6.97}$  تا  $\text{Wo}_{72.88}\text{Fs}_{25.21}$  قرار دارد (جدول ۲). فرمول ساختاری محاسبه شده برای پیروکسن‌ها بر پایه شش اتم اکسیژن و چهار کاتیون در جدول ۳ ارائه شده است. با توجه به دسته‌بندی موریمتو و همکاران [۲۷]، پیروکسن‌های مورد بررسی غنی از کلسیم (با میانگین ۸۲٪ درصد وزنی) و فقیر از سدیم (کمتر از ۴۳٪ درصد وزنی) هستند. ترکیب پیروکسن‌ها

جدول ۱ نتایج تجزیه نقطه‌ای پلازیوکلازها در گابروهای منطقه دهسرد و محاسبه کاتیون‌ها بر پایه ۸ اکسیژن.

نمونه	1-8	1-9	2-7	2-8	2-9	2-10	4-6	4-7	4-8	6-5
SiO <sub>2</sub> (wt.%)	۷۱.۶۷	۷۱.۶۸	۷۲.۴۵	۷۱.۳۲	۶۷.۳۶	۷۲.۲۱	۷۱.۹۷	۷۰.۶۱	۷۰.۰۷	۷۲.۴۴
Al <sub>2</sub> O <sub>3</sub>	۲۰.۶۶	۱۹.۵۸	۲۱.۰۱	۲۱.۳۴	۲۵.۰۸	۲۰.۷۹	۲۰.۶۲	۲۲.۱۷	۲۱.۷۷	۲۰.۸۵
FeO	۰.۰۰	۰.۰۵	۰.۰۰	۰.۰۰	۰.۰۶	۰.۰۰	۰.۱۳	۰.۰۷	۰.۱۴	۰.۰۰
CaO	۰.۱۵	۰.۴۲	۰.۹۲	۰.۸۴	۰.۳۸	۰.۹۴	۰.۱۸	۱.۲۴	۱.۲۴	۰.۳۱
Na <sub>2</sub> O	۷.۵۲	۶.۴۷	۶.۸۴	۶.۹۰	۵.۶۳	۸.۷۱	۷.۴۳	۶.۶۴	۷.۲۴	۶.۲۳
K <sub>2</sub> O	۰.۰۸	۰.۰۶	۰.۰۴	۰.۰۲	۲.۵۹	۰.۱۰	۰.۰۹	۰.۷۹	۰.۲۴	۰.۰۹
مجموع	۱۰۰.۰۷	۹۸.۲۶	۱۰۱.۲۷	۱۰۰.۴۲	۱۰۱.۱۰	۱۰۲.۷۵	۱۰۰.۴۳	۱۰۱.۵۲	۱۰۰.۷۰	۱۰۰.۹۲
Si(apfu)	۲.۸۶	۲.۹۲	۲.۸۶	۲.۸۴	۲.۶۶	۲.۸۱	۲.۸۷	۲.۷۸	۲.۷۸	۲.۹۱
Al	۱.۱۰	۱.۰۹	۱.۱۱	۱.۱۳	۱.۳۲	۱.۰۸	۱.۰۹	۱.۱۶	۱.۱۵	۱.۱۰
Fe	۰.۰۰	۰.۰۰	۰.۰۰	۰.۰۰	۰.۰۰	۰.۰۰	۰.۰۱	۰.۰۱	۰.۰۱	۰.۰۰
Ca	۰.۰۱	۰.۰۳	۰.۰۷	۰.۰۷	۰.۰۳	۰.۰۷	۰.۰۱	۰.۱۰	۰.۱۰	۰.۰۲
Na	۱.۰۰	۱.۰۵	۱.۰۸	۱.۰۰	۰.۸۹	۱.۳۶	۱.۱۸	۱.۰۵	۱.۱۵	۰.۹۹
K	۰.۰۱	۰.۰۱	۰.۰۱	۰.۰۰	۰.۰۱	۰.۰۲	۰.۰۲	۰.۱۲	۰.۰۴	۰.۰۱
Or	۱.۰۲	۰.۹۵	۰.۸۱	۰.۳۱	۳۰.۸۰	۱.۰۵	۱.۲۴	۹.۸۰	۲۹۶	۱۴۰
Ab	۹۸.۰۳	۹۵.۹۳	۹۳.۱۲	۹۳.۹۸	۶۶.۹۳	۹۳.۸۹	۹۷.۵۶	۸۲.۴۷	۸۹.۴۱	۹۶.۱۹
An	۰.۹۵	۳.۱۲	۶.۲۸	۵.۷۱	۲.۲۷	۵.۰۶	۱.۲۱	۷.۷۲	۷.۶۳	۲.۴۱



شکل ۴ (الف) نمودار Ab-Or-An و موقعیت پلازیوکلازهای موجود در گابروهای منطقه مورد بررسی بر آن. (ب) نمودار سه تایی انسستاتیت (En)، ولاستونیت (Wo) و فروسیلیت (Fs) (۲۷) کلینوپیروکسن‌های موجود در گابروهای منطقه مورد بررسی. (پ) نمودار سه تایی (۲۸) Ti-Na-Al<sup>IV</sup>. TAL=CaTiAl<sub>2</sub>O<sub>6</sub>, NATAL=NaTiSiAlO<sub>6</sub>, NaT=NaTi<sub>0.5</sub>R<sub>0.5</sub>Si<sub>2</sub>O<sub>6</sub>, JD=NaAlSi<sub>2</sub>O<sub>6</sub>, UR=NaCrSi<sub>2</sub>O<sub>6</sub>, Ac=NaFeSi<sub>2</sub>O<sub>6</sub>, CATS=CaAlSi<sub>6</sub> & CaFeAlSi<sub>6</sub>O<sub>6</sub>. (ث) نمودار ردبهندی کلینوپیروکسن‌ها (۲۷) نسبت  $J=2\text{Na}$  نسبت به  $Q=\text{Ca}+\text{Mg}+\text{Fe}^{2+}$  نسبت به  $\text{Al}=\text{Al}+\text{Cr}+\text{Na}$ .

جدول ۲ نتایج تجزیه نقطه‌ای کلینوپیروکسن‌ها در گابروهای منطقه دهسرد.

(wt.%) نمونه	SiO <sub>2</sub>	TiO <sub>2</sub>	Al <sub>2</sub> O <sub>3</sub>	FeO	MnO	MgO	CaO	Na <sub>2</sub> O	K <sub>2</sub> O	مجموع
1-1	55.20	0.15	0.79	4.92	0.18	15.11	22.60	0.39	0.00	99.33
1-2	55.58	0.02	0.75	4.17	0.18	15.66	23.47	0.27	0.00	100.10
1-3	56.17	0.04	0.17	4.83	0.17	15.14	24.42	0.27	0.00	101.21
1-4	55.94	0.01	0.42	4.54	0.25	15.25	23.75	0.29	0.00	100.45
1-5	55.44	0.14	0.97	4.56	0.22	15.47	23.40	0.35	0.00	100.65
1-6	54.96	0.12	0.90	4.54	0.17	15.22	23.57	0.34	0.00	99.82
2-1	54.61	0.15	1.29	4.63	0.15	15.77	22.75	0.36	0.00	99.71
2-2	56.05	0.02	0.52	4.18	0.20	15.23	24.17	0.33	0.00	100.79
2-4	55.34	0.14	1.19	4.54	0.14	15.30	23.62	0.30	0.00	100.67
3-5	55.19	0.20	0.86	5.03	0.21	15.15	23.21	0.37	0.00	100.22
3-6	55.19	0.17	0.93	4.45	0.17	15.36	23.43	0.37	0.00	100.16
3-7	55.64	0.20	0.97	4.56	0.16	15.22	23.66	0.36	0.00	100.77
4-1	55.36	0.18	1.23	4.86	0.24	15.15	23.66	0.39	0.00	100.7
4-2	55.35	0.14	1.03	4.83	0.16	15.10	23.95	0.36	0.00	100.91
4-3	55.50	0.14	0.79	4.49	0.21	15.48	23.82	0.36	0.02	100.81
4-4	55.35	0.12	0.73	4.45	0.16	15.56	23.40	0.28	0.00	100.5
4-5	54.97	0.13	1.20	4.67	0.17	15.22	23.50	0.31	0.02	100.18
5-1	55.49	0.10	0.95	4.77	0.17	15.30	23.73	0.26	0.01	100.77
5-2	55.8	0.14	1.01	4.58	0.18	15.23	23.53	0.37	0.02	100.11
5-5	55.40	0.16	1.18	4.55	0.18	15.43	23.95	0.30	0.02	101.16
5-6	55.21	0.15	1.07	4.46	0.10	15.55	24.13	0.29	0.00	100.97
6-1	55.67	0.19	0.99	4.73	0.20	15.01	23.87	0.31	0.00	100.78
6-2	54.32	0.19	1.21	4.49	0.17	14.55	23.79	0.35	0.00	99.08
6-3	55.00	0.15	1.26	4.84	0.18	14.81	24.02	0.36	0.00	100.61
6-4	54.88	0.21	1.37	4.86	0.22	14.82	24.15	0.40	0.01	100.91

جدول ۳ محاسبه کاتیون‌ها بر اساس ۶ اکسیژن.

(apfu) نمونه	Si	Al	Ti	Mg	Fe	Ca	Na	K	Al <sup>IV</sup>	Al <sup>VII</sup>	mg#	En	Fs	Wo
1-1	2.03	0.12	0.00	0.83	0.11	0.89	0.03	0.00	0.04	0.08	88.82	44.15	8.37	47.48
1-2	2.02	0.11	0.00	0.85	0.10	0.91	0.02	0.01	0.04	0.07	89.67	44.79	6.98	48.24
1-3	2.03	0.10	0.00	0.82	0.14	0.95	0.02	0.00	0.05	0.05	85.3	42.65	7.90	49.44
1-4	2.03	0.12	0.00	0.83	0.12	0.92	0.02	0.00	0.05	0.07	87.9	43.57	7.67	48.76
1-5	2.01	0.10	0.00	0.84	0.11	0.91	0.02	0.01	0.03	0.07	88.66	44.23	7.69	48.09
1-6	2.01	0.09	0.00	0.83	0.11	0.92	0.02	0.00	0.03	0.07	87.96	43.75	7.6	48.65
2-1	2.00	0.08	0.00	0.86	0.08	0.89	0.03	0.01	0.01	0.07	91.18	45.31	7.71	46.98
2-2	2.03	0.11	0.00	0.83	0.12	0.94	0.02	0.01	0.04	0.07	86.97	43.6	6.99	49.40
2-4	2.00	0.10	0.00	0.82	0.11	0.92	0.02	0.00	0.03	0.08	88.64	43.84	7.52	48.65
3-5	2.01	0.10	0.01	0.82	0.12	0.91	0.03	0.00	0.03	0.07	87.9	43.57	7.46	47.97
3-6	2.01	0.10	0.00	0.83	0.11	0.91	0.03	0.00	0.03	0.07	88.69	44.15	7.45	48.40
3-7	2.01	0.11	0.01	0.82	0.12	0.92	0.03	0.00	0.04	0.08	87.62	43.65	7.6	48.75
4-1	2.00	0.09	0.00	0.82	0.12	0.92	0.03	0.00	0.02	0.07	87.0	43.26	8.18	48.65
4-2	2.01	0.09	0.00	0.82	0.13	0.93	0.03	0.00	0.02	0.07	87.94	43.00	7.97	49.02
4-3	2.01	0.09	0.00	0.83	0.11	0.92	0.03	0.00	0.03	0.06	88.23	43.93	7.49	48.89
4-4	2.02	0.10	0.00	0.85	0.10	0.91	0.02	0.01	0.03	0.07	89.7	44.51	7.39	48.09
4-5	2.00	0.09	0.00	0.83	0.11	0.92	0.02	0.00	0.02	0.07	88.20	43.70	7.8	48.50
5-1	2.01	0.10	0.00	0.82	0.11	0.92	0.02	0.00	0.03	0.07	87.87	43.56	7.89	48.86
5-2	2.01	0.09	0.00	0.83	0.12	0.92	0.03	0.01	0.03	0.07	87.64	43.75	7.66	48.89
5-5	2.00	0.08	0.00	0.83	0.11	0.93	0.02	0.00	0.02	0.07	88.07	43.71	7.52	48.77
5-6	1.95	0.07	0.00	0.82	0.00	0.91	0.02	0.00	0.01	0.06	80.00	43.86	7.22	48.91
6-1	2.01	0.12	0.01	0.81	0.12	0.92	0.02	0.00	0.04	0.08	86.90	43.14	7.96	48.90
6-2	2.00	0.10	0.01	0.80	0.14	0.94	0.02	0.01	0.02	0.08	85.32	42.47	7.63	49.90
6-3	2.00	0.09	0.00	0.80	0.13	0.93	0.03	0.00	0.02	0.07	85.67	42.45	8.07	49.48
6-4	1.99	0.07	0.01	0.80	0.14	0.94	0.03	0.01	0.01	0.07	85.11	42.30	8.14	49.56

(کلسیم موجود در جایگاه BNa؛ ۱/۸۶ تا ۱/۹۱) و مقدار (سدیم موجود در جایگاه B؛ ۰/۰۸ تا ۰/۱۳)، آمفیبیول از دیگر کانی‌های موجود در سنگ‌های مورد بررسی است. نتایج محاسبه فرمول ساختاری آنها براساس فرمول استاندارد آمفیبیول  $[AB_2C_5^{IV}T_8O_{22}(OH)_2]$  بر پایه ۲۳ اکسیژن و ۱۳ کاتیون در جایگاه چاروجه‌ی و هشت گذاری آمفیبیول‌ها [۳۰]، در گستره اکتینیولیت تا منیزیبوهورنبلند قرار دارند (شکل ۵ ب). براساس نمودار تفکیک

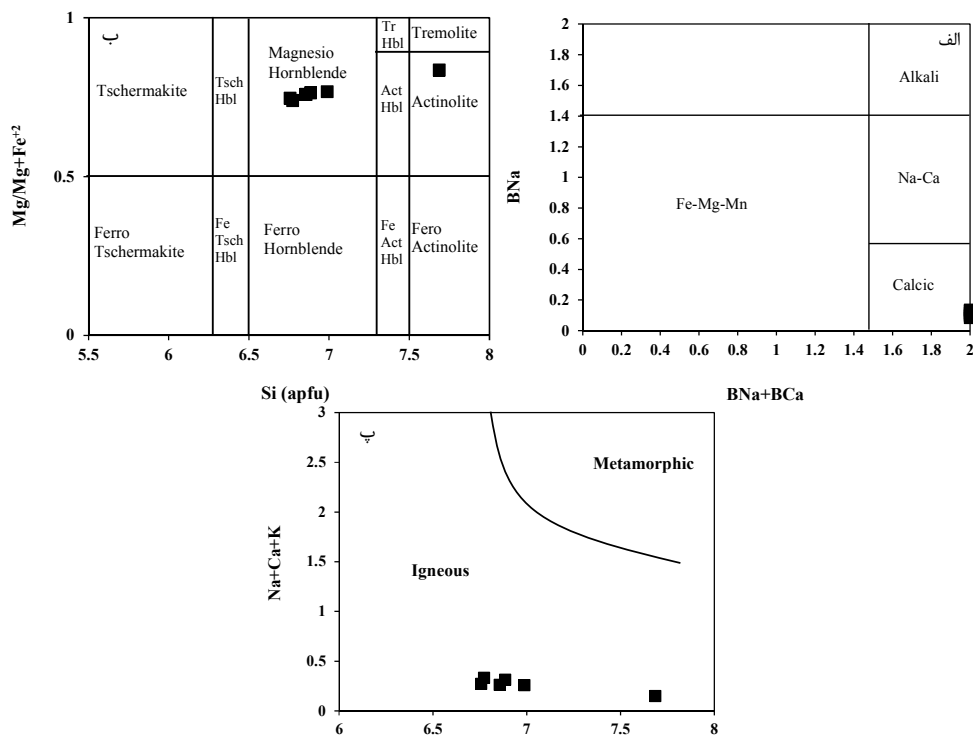
آمفیبیول از دیگر کانی‌های موجود در سنگ‌های مورد بررسی است. نتایج محاسبه فرمول ساختاری آنها براساس فرمول استاندارد آمفیبیول  $[AB_2C_5^{IV}T_8O_{22}(OH)_2]$  بر پایه ۲۳ اکسیژن و ۱۳ کاتیون در جایگاه چاروجه‌ی و هشت گذاری آورده شده است. با توجه به مقدار BCa وجهی در جدول ۴

آمفیبول‌های ماقمایی کمتر از  $7/3$  درصد است، در صورتیکه آمفیبول‌هایی با سیلیس بالای  $7/3$  درصد از فرایندهای زیر خط انجامد به وجود آمدۀ‌اند [۳۴، ۳۵].

کننده آمفیبول‌های ماقمایی از دگرگونی [۳۳]، آمفیبول‌های اولیه موجود در گابروهای مورد بررسی از نوع ماقمایی هستند (شکل ۵ پ). لیک و همکاران [۳۲] معتقدند که مقدار Si در

جدول ۴ نتایج تجزیه نقطه‌ای آمفیبول‌ها در گابروهای مورد بررسی و محاسبه کاتیون‌ها بر اساس ۲۳ اکسیزن.

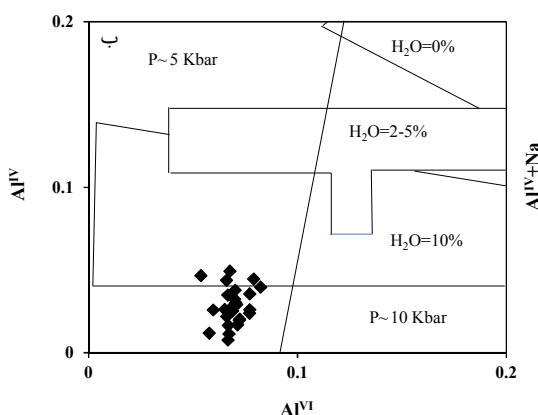
نمونه	3-1	3-2	3-3	3-4	5-7	5-8
SiO <sub>2</sub> (wt.%)	۵۴,۵۹	۴۶,۵۴	۴۷,۷۲	۴۸,۰۷	۴۶,۷۲	۴۷,۷۹
TiO <sub>2</sub>	۰,۲۰	۱,۴۹	۱,۸۳	۱,۴۹	۱,۸۹	۱,۷۳
Al <sub>2</sub> O <sub>3</sub>	۴,۱۲	۱,۰۶۶	۹,۴۵	۸,۵۷	۱۰,۲۴	۹,۷۹
FeO	۶,۴۳	۹,۰۲	۸,۴۳	۸,۴۹	۸,۹۷	۸,۷۱
MnO	۰,۱۱	۰,۱۷	۰,۱۰	۰,۱۲	۰,۱۲	۰,۲۰
MgO	۱۸,۲۹	۱۴,۳۷	۱۵,۲۶	۱۵,۶۷	۱۴,۸۱	۱۵,۳۶
CaO	۱۲,۵۷	۱۱,۹۶	۱۱,۹۰	۱۲,۳۷	۱۲,۳۷	۱۲,۳۹
Na <sub>2</sub> O	۰,۵۲	۱,۴۱	۱,۳۱	۱,۳۰	۱,۵۲	۱,۴۵
K <sub>2</sub> O	۰,۲۵	۱,۰۶	۱,۰۰	۰,۷۸	۱,۰۱	۰,۹۰
مجموع	۹۷,۱۰	۹۶,۶۸	۹۷,۱۹	۹۷,۲۴	۹۷,۶۵	۹۸,۰۴
Si(apfu)	۷,۶۹	۶,۷۷	۶,۸۸	۶,۹۹	۶,۷۶	۶,۸۶
Ti	۰,۰۰	۰,۰۰	۰,۰۰	۰,۰۰	۰,۰۰	۰,۰۰
Al	۰,۶۸	۱,۸۳	۱,۶۱	۱,۴۵	۱,۷۵	۱,۶۰
Al <sup>IV</sup>	۰,۳۱	۱,۲۳	۱,۱۲	۱,۰۱	۱,۲۴	۱,۱۴
Al <sup>V</sup>	۰,۳۷	۰,۶۰	۰,۴۹	۰,۴۴	۰,۵۰	۰,۴۶
Fe	۰,۷۶	۱,۱۰	۱,۰۲	۱,۰۲	۱,۰۸	۱,۰۴
Mn	۰,۱۹	۰,۱۸	۰,۰۷	۰,۰۷	۰,۰۳	۰,۰۳
Mg	۲,۱۷	۱,۹۵	۲,۳۲	۲,۹۵	۲,۰۵	۳,۲۲
Ca	۱,۹۰	۱,۸۶	۱,۸۷	۱,۸۸	۱,۹۲	۱,۹۰
Na	۰,۱۴	۰,۴۰	۰,۳۷	۰,۳۶	۰,۴۲	۰,۴۰
K	۰,۰۵	۰,۲۰	۰,۱۸	۰,۱۴	۰,۱۹	۰,۱۷
B: Ca	۱,۹۰	۱,۸۶	۱,۸۷	۱,۸۸	۱,۹۲	۱,۹۰
B: Na	۰,۱۰	۰,۱۴	۰,۱۳	۰,۱۲	۰,۰۸	۰,۱۰
mg#	۰,۸۴	۰,۷۴	۰,۷۶	۰,۷۷	۰,۷۵	۰,۷۶



شکل ۵ ترکیب شیمیایی آمفیبول‌های مورد بررسی در (الف) در نمودار BNa+BCa نسبت به BNa (۳۲)، ب) نمودار Si نسبت به Mg/(Mg+Fe<sup>2+</sup>) (۳۲) و پ) نمودار شناسایی آمفیبول‌های دگرگونی از آذرین [۳۲].

جایگاه زمین‌ساختی ماقمای میزبان پی برد [۴۰، ۳۹]. با استفاده از نمودار اکسیدهای عناصر اصلی  $\text{Al}_2\text{O}_3$  نسبت به  $\text{SiO}_2$ ، نیمه قلیایی بودن ماقمای سازنده کانی‌های مورد بررسی مشخص می‌شود (شکل ۷ الف). در نمودار  $\text{TiO}_2$  نسبت به  $\text{Al}_2\text{O}_3$ ، کلینوپیروکسن‌های مورد بررسی در گستره آهکی قلیایی واقع هستند (شکل ۷ ب). نمونه‌های آمفیبول موجود در هورنبلندگابروها نیز در نمودارهای  $\text{TiO}_2$  نسبت به  $\text{Al}_2\text{O}_3$  و  $\text{MgO}$  در گستره نیمه قلیایی قرار دارند (شکل‌های ۷ پ و ت). برای بررسی محیط زمین‌ساختی توده‌های گابرویی بر اساس کانی کلینوپیروکسن موجود در آنها، نمودارهای بسیاری طراحی شده است. لتریز و همکاران [۳۹] نموداری بر اساس کاتیون  $\text{Ti}+\text{Cr}$  نسبت به  $\text{Ca}$  ارائه نمودند که کلینوپیروکسن-عنصر اکسیدهای محیط پشتی میان‌اقیانوسی و تولئیتی را از کلینوپیروکسن‌های محیط کمان آتشفسانی تفکیک می‌کند. بر این اساس کلینوپیروکسن‌های مورد بررسی در محیط کمان آتشفسانی تشکیل شده‌اند (شکل ۸ الف). همچنین در نمودار  $\text{F}_1-\text{F}_2$  [۴۱] که بر پایه ترکیب همه اکسیدهای عناصر اصلی و فرعی کلینوپیروکسن برای تفکیک محیط زمین‌ساختی بازالت‌ها طراحی شده است:

$$\begin{aligned} \mathbf{F1} &= -0.012 \times \text{SiO}_2 - 0.0807 \times \text{TiO}_2 + 0.0026 \times \text{Al}_2\text{O}_3 - 0.0012 \times \text{FeO}^* - 0.0026 \times \text{MnO} + 0.0087 \times \text{MgO} - 0.0128 \times \text{CaO} - 0.0419 \times \text{Na}_2\text{O} \\ \mathbf{F2} &= -0.0469 \times \text{SiO}_2 - 0.0818 \times \text{TiO}_2 - 0.0212 \times \text{Al}_2\text{O}_3 - 0.0041 \times \text{FeO}^* - 0.1435 \times \text{MnO} - 0.0029 \times \text{MgO} + 0.0085 \times \text{CaO} + 0.0160 \times \text{Na}_2\text{O} \end{aligned}$$

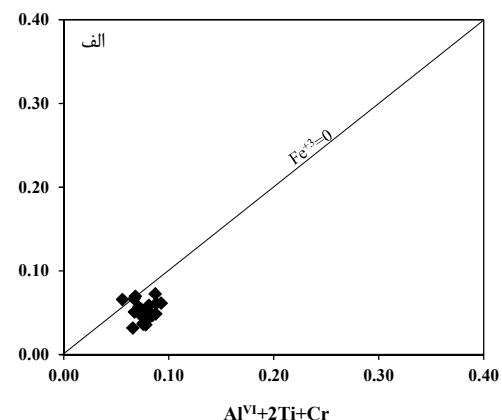


شکل ۷ (الف) نمودار  $\text{Al}^{\text{IV}}+\text{Na}$  در کلینوپیروکسن‌های مورد بررسی [۳۵] و (ب) توزیع  $\text{Al}$  در جایگاه‌های چاروجهی و هشت‌وجهی در ترکیب کلینوپیروکسن‌های مورد بررسی برپایه مقدار بخار آب [۳۶].

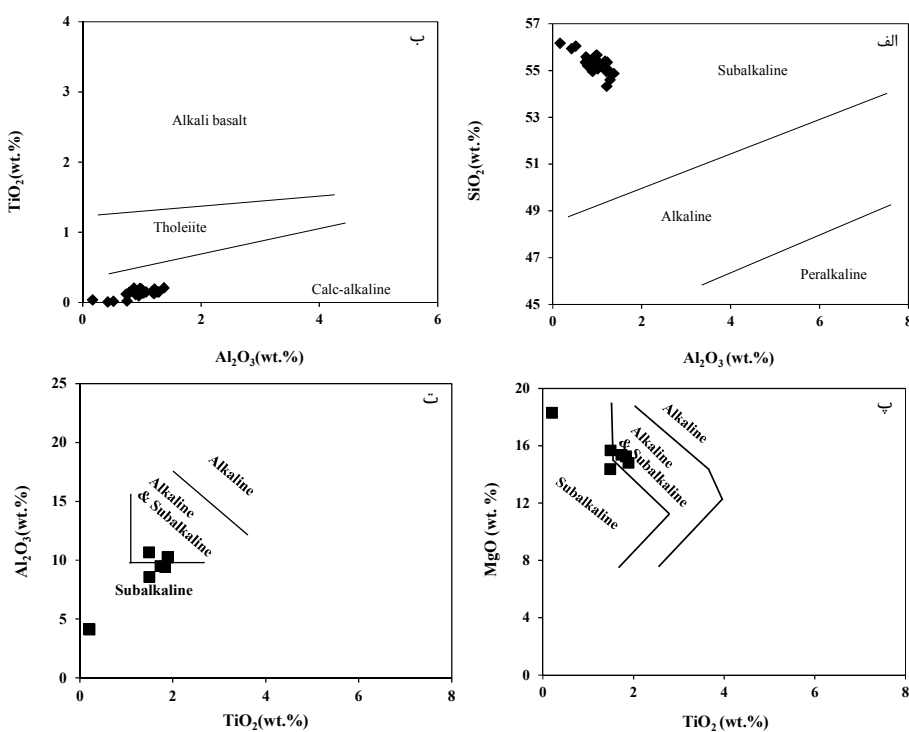
گریزندگی اکسیژن و ارزیابی مقدار آب ماقما  
گریزندگی اکسیژن بر فرایندهای ماقمایی، توالی تبلور و نوع کانی‌های متبلور شده اثر بسیاری دارد و مقدار آن به نوع محیط زمین‌ساختی ماقما وابسته است. در نمودار  $\text{Al}^{\text{VI}}+2\text{Ti}+\text{Cr}$  نسبت به  $\text{Al}^{\text{IV}}+\text{Na}$  [۳۶]، قرار داشتن نمونه‌های مورد بررسی پایین خط  $\text{Fe}^{+3}=0$  بیانگر تبلور کانی‌های پیروکسن مورد بررسی در گریزندگی پایین اکسیژن است. اگر در این نمودار نمونه‌ها بالای خط قرار داشته باشند، نشانگر گریزندگی بالای اکسیژن است. در واقع، هر چه فاصله نمونه‌ها از خط موازن  $\text{Fe}^{+3}=0$  بیشتر یا کمتر باشد به ترتیب بیشتر یا کمتر بودن گریزندگی اکسیژن در محیط تبلور کانی کلینوپیروکسن را نشان می‌دهد (شکل ۶ الف).

توزیع  $\text{Al}^{\text{IV}}$  در جایگاه‌های هشت‌وجهی و چاروجهی در تعیین مقدار آب ماقما و فشار کاربرد دارد. افزایش مقدار  $\text{Al}^{\text{IV}}$  نشان دهنده کاهش مقدار آب در محیط تبلور پیروکسن‌هاست [۳۷]. بر اساس نمودار  $\text{Al}^{\text{IV}}$  نسبت به  $\text{Al}^{\text{VI}}$ ، پیروکسن‌های مورد بررسی در گستره فشار ۵kbar و مقدار آب ۱۰ درصد تشکیل شده‌اند (شکل ۶ ب).

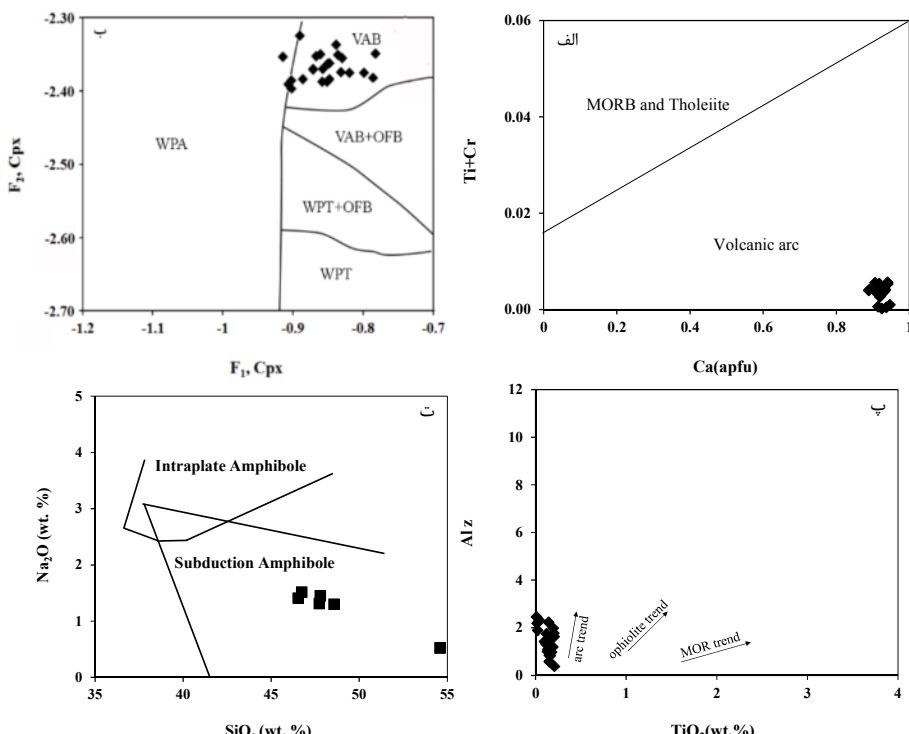
تعیین سری ماقمایی و محیط زمین‌ساختی  
ترکیب شیمیایی و خاستگاه ماقمای سازنده بر ترکیب شیمیایی کلینوپیروکسن‌ها اثر دارد [۳۸]. در نتیجه با استفاده از ترکیب شیمیایی کانی پیروکسن می‌توان به سری ماقمایی و



شکل ۶ (الف) نمودار  $\text{Al}^{\text{IV}}+\text{Na}$  در کلینوپیروکسن‌های مورد بررسی [۳۵] و (ب) توزیع  $\text{Al}$  در جایگاه‌های چاروجهی و هشت‌وجهی در ترکیب کلینوپیروکسن‌های مورد بررسی برپایه مقدار بخار آب [۳۶].



شکل ۷ ترکیب کانی‌های کلینوپیروکسن موجود در هورنبلندگابروهای منطقه دهسرد در (الف و ب) نمودار  $\text{Al}_2\text{O}_3$  نسبت به  $\text{SiO}_2$  و  $\text{Al}_2\text{O}_3$  نسبت به  $\text{TiO}_2$  (۴۱) [۴۱] و (پ و ت) نمودارهای  $\text{TiO}_2$  نسبت به  $\text{MgO}$  و  $\text{Al}_2\text{O}_3$  (۱۹) [۱۹] برای شناسایی سرنشیت ماقمای این هورنبلندگابروها.



شکل ۸ (الف) نمودار  $\text{Ca}$  نسبت به  $\text{Ti}+\text{Cr}$  [۳۹] برای کلینوپیروکسن‌های موجود در هورنبلندگابروهای منطقه دهسرد ، (ب) جایگاه کلینوپیروکسن‌های مورد بررسی در نمودار  $\text{F}_1-\text{F}_2$  [۴۱] (VAB: بازالت‌های کمان آتشفسانی، OFB: بازالت‌های بستر اقیانوسی، WPT: بازالت‌های تولئیتی میان صفحه‌ای و WPT: بازالت‌های قلیایی میان صفحه‌ای). (پ) نمودار  $\text{TiO}_2$  نسبت به  $\text{Alz}$  [۴۲] برای کلینوپیروکسن‌های موجود در هورنبلندگابروهای منطقه دهسرد [۴۳]. (ت) رده‌بندی زمین ساختی ماقمایی آمفیبول‌های موجود در هورنبلندگابروهای منطقه دهسرد [۴۳].

$$T(^{\circ}\text{K}) = 93100 + 544 P(\text{kbar}) / 61.1 + 36.6 X_{\text{Ti}}^{\text{cpx}} + 10.9(X_{\text{Fe}}^{\text{cpx}}) - 0.95 (X_{\text{Al}}^{\text{cpx}} + X_{\text{Cr}}^{\text{cpx}} - X_{\text{Na}}^{\text{cpx}} - X_{\text{K}}^{\text{cpx}}) + 0.395[(\ln a_{\text{En}}^{\text{cpx}})^2] \quad (6)$$

دماهی تبلور نمونه‌های کانی کلینوپیروکسن مورد بررسی، ۱۲۶۷-۱۱۹۷ درجه سانتی‌گراد برآورد می‌شود:

دماسنجدی هورنبلند-کلینوپیروکسن بر پایه تعادل کاتیون‌های Mg و Fe میان کانی‌های هورنبلند و کلینوپیروکسن همزیست است [۵۰]. براساس این روش، دماهی تعادل این دو کانی در هورنبلند گابروهای مورد بررسی در گستره ۱۰۰۰ تا ۱۱۰۰ درجه سانتی‌گراد است (شکل ۹ ب).

در روش دماسنجدی هورنبلند-پلازیوکلاز مرچع [۵۱] که برای دماهای ۴۰۰ تا ۱۰۰۰ درجه سانتی‌گراد و فشار ۱ کیلوبار کاربرد دارد

$$T = \frac{0.667 - 48.98Y}{-0.0429 - 0.008314 * \ln K} \quad (7)$$

که

$$K = \frac{(Si-4)}{(8-Si)} X_{Ab}^{plg} \quad (8)$$

دماهی تعادلی دو کانی هورنبلند-پلازیوکلاز بر اساس فشار مرچع [۵۲] ۴۵۰-۵۴۸ درجه سانتی‌گراد تعیین شد.

برپایه نمودار ترسیمی تعیین فشار کلینوپیروکسن [۴۷]، فشار تبلور پیروکسن‌های مورد بررسی در گستره ۲-۵ کیلوبار برآورد می‌شود (شکل ۹ پ). در روش فشارسنجدی مرچع [۴۹] بر پایه رابطه زیر توزیع Al میان کلینوپیروکسن و مذاب همزیست مورد توجه است: این رابطه در فرمول ۶ برای هر کاتیون Al شش اتم اکسیژن در نظر گرفته شده است.

$$P(\text{kbar}) = -57.9 + 0.0475T(K) - 40.6(X_{\text{FeO}}^{\text{liq}}) - 47.7(X_{\text{CaTs}}^{\text{cpx}}) + 0.676(X_{\text{H}_2\text{O}}^{\text{liq}}) - 153(X_{\text{CaO}0.5}^{\text{liq}}) + 6.89[X_{\text{Al}}^{\text{cpx}} / X_{\text{Al}_2\text{O}_31.5}^{\text{liq}}] \quad (9)$$

که

$$X_{\text{Al}}^{\text{cpx}} = X_{\text{Al}}^{(\text{IV})\text{cpx}} + X_{\text{Al}}^{(\text{VI})\text{xpx}} \quad (10)$$

فشار نمونه‌های مورد بررسی بر این اساس ۲۰۵-۵۵۸ کیلوبار است. بر اساس پارامتر  $\text{Al}^{\text{I}}$  نسبت به  $\text{Fe}^{\text{I}}/\text{Mg}+\text{Fe}^{\text{I}}$  موجود در آمفیبول‌های مورد بررسی، فشار ۴-۶ کیلوبار به روش مرچع [۵۲] برای تبلور آنها به دست آمد (شکل ۹ ت).

با توجه به فشارهای به دست آمده از مرچع [۴۹]، عمق تبلور توده نفوذی گابرویی به طور میانگین ۱۴ کیلومتر است. شکل ۱۰ نیز عمق تبلور کلینوپیروکسن‌های مورد بررسی را حدود ۱۳ تا ۱۷ کیلومتر نشان می‌دهد.

ترکیب کلینوپیروکسن‌های توده گابرویی دهدزد در گستره بازالت‌های کمان آتشفسانی واقع هستند (شکل ۸ ب). بکالوا و همکاران [۴۰] معتقدند که پیروکسن‌هایی که از ماجمای Ti باسته به کمان آتشفسانی متبلور شده‌اند دارای  $\text{SiO}_2$  بالا و  $\text{TiO}_2$  پایین هستند. با توجه به این ویژگی‌های کلینوپیروکسن‌های مورد بررسی، می‌توان محیط کمان آتشفسانی را برای این کانی‌ها در نظر گرفت (جدول ۲). نمودار  $\text{TiO}_2$  نسبت به کانی  $\text{Alz}$  ( $\text{Al}^{\text{IV}} * 100/2$ ) برای پیروکسن‌های مورد بررسی روند وابسته به فروزانش را نشان می‌دهند. در این نمودار، ترکیب شیمیایی پیروکسن‌های تشکیل شده در محیط فروزانش از محیط وابسته به افولیت و کافت تکیک می‌شود (شکل ۸ پ). در نمودار مرچع [۴۳] که برای محیط زمین-ساختی آمفیبول‌ها ارائه شده است، آمفیبول‌های مورد بررسی در محیط فروزانش قرار دارند (شکل ۸ ت).

#### دماسنجدی-فشارسنجدی

از آنجا که ترکیب کلینوپیروکسن وابسته به تغییرات دما و فشار است، می‌توان از این کانی برای برآورد دما و فشار تبلور استفاده کرد [۴۴-۴۶]. برای دماسنجدی تک کانی کلینوپیروکسن به روش ترسیمی [۴۷]، پارامترها  $X_{\text{PT}}$  و  $Y_{\text{PT}}$  به صورت زیر محاسبه می‌شوند:

$$X_{\text{PT}} = 0.446 \text{ SiO}_2 + 0.187 \text{ TiO}_2 - 0.404 \text{ Al}_2\text{O}_3 + 0.346 \text{ FeO}_{\text{Total}} - 0.052 \text{ MnO} + 0.309 \text{ MgO} + 0.431 \text{ CaO} - 0.446 \text{ Na}_2\text{O} \quad (3)$$

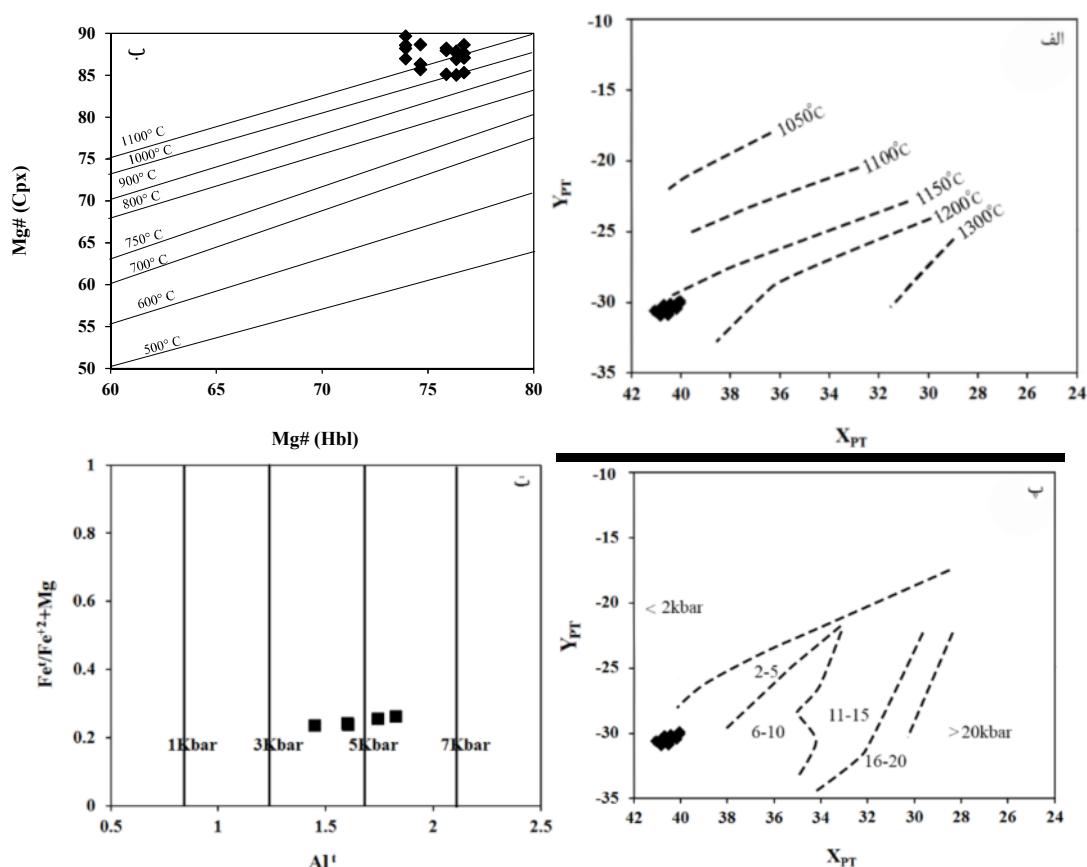
$$Y_{\text{PT}} = -0.369 \text{ SiO}_2 + 0.535 \text{ TiO}_2 - 0.317 \text{ Al}_2\text{O}_3 + 0.323 \text{ FeO}_{\text{Total}} + 0.235 \text{ MnO} - 0.516 \text{ MgO} - 0.167 \text{ CaO} - 0.153 \text{ Na}_2\text{O} \quad (4)$$

مقدار  $X_{\text{PT}}$  برای نمونه‌های مورد بررسی در گستره ۴۰ تا ۴۱/۵ و  $Y_{\text{PT}}$  در گستره ۳۰/۳۴ تا ۳۰/۲۹ است. بر اساس روش مرچع [۴۷]، دماهی کلینوپیروکسن‌های بررسی شده در گستره ۱۲۰۰-۱۱۵۰ درجه سانتی‌گراد است (شکل ۹ الف). بر پایه محاسبات نیسیس و تبلور [۴۸]:

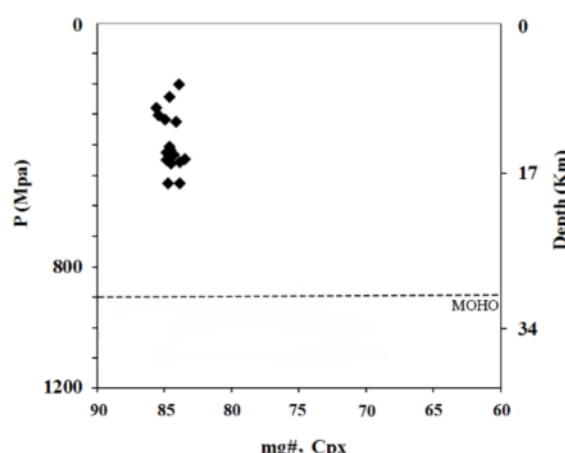
$$T(K) = 23166 + 39.28(P \text{ kbar}) / 13.25 + 15.35 \text{ Ti} + 4.5 \text{ Fe} - 1.55 (\text{Al} + \text{Cr} - \text{Na} - \text{K}) + (\ln a_{\text{En}}^{\text{cpx}})^2 \quad (5)$$

دماهی تبلور کلینوپیروکسن‌های مورد بررسی ۶۵۶ تا ۱۱۳۴ درجه سانتی‌گراد با تغییرات  $0^{\circ}\text{C} \pm 25$  است.

بر پایه دماسنجدی تبلور کلینوپیروکسن‌ها به روش پاتریکا [۴۹]:



شکل ۹ الف) نمودار  $X_{PT}$  نسبت به  $Y_{PT}$  برای برآورد دمای تبلور پیروکسن موجود در هورنبلندگابروهای منطقه دهسرد بر [۴۷]. ب) برآورد دمای تعادل تبلور کلینوپیروکسن و هورنبلندگابروهای موجود در هورنبلندگابروهای منطقه دهسرد بر پایه مقادیر  $Mg\#$  در کلینوپیروکسن و هورنبلند همزیست [۵۰]. پ) نمودار  $X_{PT}$  نسبت به  $Y_{PT}$  برای برآورد فشار تبلور پیروکسن موجود در هورنبلندگابروهای منطقه دهسرد بر پایه [۴۷]. ت) نمودار  $Al^1$  نسبت به  $Fe^{3+}/(Mg+Fe^{3+})$  برای برآورد فشار آمفیبولها [۵۲].



شکل ۱۰ تخمین فشار بر گرفته از مرجع [۴۹] نسبت به  $mg\#$ . خط افقی همارزی عمق با فشار را نشان می‌دهد.

هورنبلندگابرو قرار دارند. کلینوپیروکسن‌ها از نوع دیوبسید هستند و در گستره کلینوپیروکسن‌های کلسیم، منیزیم و آهن‌دار قرار دارند. آمفیبول‌های تشکیل دهنده این گابروها ترکیب

برداشت با توجه به درصد کانی‌های اصلی پلاژیوکلاز، پیروکسن و آمفیبول در توده گابرویی دهسرد، این سنگ‌ها در گستره

[7] Sedighian S., Dargahi S., Arvin M., "Petrochemistry of Khunrang intrusive complex, southeast of Kerman, Iran: Implications for magmatic evolution of Sanandaj-Sirjan zone in the Mesozoic time", Journal of African Earth Sciences 134 (2017) 149-165.

[8] Deevsalar R., Shinjo R., Wang K.-L., Hadi Y., Neill I., "Gabbroic-dioritic dykes from the Sanandaj-Sirjan Zone: windows on Jurassic and Eocene geodynamic processes in the Zagros Orogen, western Iran", Journal of the Geological Society 175 (2018) 915-933.

[9] Shahbazi H., Siebel W., Pourmoafee M., Ghorbani M., Sepahi A., Shang C., Abedini M.V., "Geochemistry and U-Pb zircon geochronology of the Alvand plutonic complex in Sanandaj-Sirjan Zone (Iran): New evidence for Jurassic magmatism", Journal of Asian Earth Sciences 36 (2010) 668-683.

[10] Mohammadi N., Sodoudi F., Mohammadi E., Sadikhony A., "New constraints on lithospheric thickness of the Iranian plateau using converted waves", Journal of seismology 17 (2013) 883-895.

[11] Dorani M., Moradian A., "Geochemical and tectonomagmatic investigation of gabbros in southwest of Shahr-Babak, Kerman Province", Iran Soc Cryst Mineral 86 (2007) 193-210.

[12] Rahgoshaei M., Shafaei, M.H., Pirasteh, S., "The distinctive trace elements signature of the less-evolved MORB materials in the south of Birjand ophiolites", (2007).

[13] Amini S., Moradpour N., ZareiSahamieh R., "Petrography, geochemistry and petrology of the South Sahneh Ophiolite Complex (NE Kermanshah)", Farsi). Iranian Journal of Crystallography and mineralogy 14(2)(2006) 225-246.

[14] Ghasemi H., Derakhshi M., "Mineralogy, geochemistry and role of olivine mechanical separation in generation of Lower Paleozoic igneous rocks in Shirgesht area, NW of Tabas, Central Iran", Iranian Journal of Crystallography and mineralogy 16 (2008) 227-224.

[15] Ghorbani G., "Geothermobarometry and mineral chemistry of ferroanpargasite gabbroic cumulates in volcanic rocks from South of Shahrood", (2008).

مگنزیوهرونبلند و اکتینولیت داشته و پلازیوکلازها نیز در گستره آلبیت-الیگوکلاز قرار دارند. با توجه به ترکیب شیمیایی کلینوپیروکسن‌ها و آمفیبول‌ها، ماقمایی بودن آنها مشخص است و ماقمای سازنده آنها سرشتی نیمه قلیایی-آهکی قلیایی دارد. دما و فشارسنجی بر اساس کانی کلینوپیروکسن دمای ۱۲۰۰ تا ۱۱۰۰ درجه سانتی‌گراد و فشار ۵۰۵-۵۸ کیلوبار در گستره گریزنده‌گی پایین اکسیژن را برای تبلور کلینوپیروکسن‌های موجود در گابروهای دهسرد نشان می‌دهد. این فشار عمقی حدود ۱۴ کیلومتر را برای تبلور توده گابرویی مورد بررسی برآورد می‌کند. کلینوپیروکسن‌های مورد بررسی نیز محیطی با گریزنده‌گی پایین اکسیژن را تایید می‌کنند. محیط زمین ساختی ماقمای سازنده این کانی‌ها کمان ماقمایی وابسته به فرورانش است.

#### مراجع

- [1] Berberian M., King G., "Towards a paleogeography and tectonic evolution of Iran", Canadian journal of earth sciences 18 (1981) 210-265.
- [2] Mohajel M., Fergusson C., Sahandi M., "Cretaceous-Tertiary convergence and continental collision, Sanandaj-Sirjan zone, western Iran" Journal of Asian Earth Sciences 21 (2003) 397-412.
- [3] Nazemei M., Arvin M., Dargahi S., "Geochemistry and source characteristics of Dehsard mafic volcanic rocks in the southeast of the Sanandaj-Sirjan zone, Iran: implications for the evolution of the Neo-Tethys Ocean", Turkish Journal of Earth Sciences 27 (2018) 249-268.
- [4] Stocklin J., "Structural history and tectonics of Iran: a review" AAPG Bulletin 52 (1968) 1229-1258.
- [5] Arvin M., Pan Y., Dargahi S., Malekizadeh A., Babaei A., "Petrochemistry of the Siah-Kuh granitoid stock southwest of Kerman, Iran: Implications for initiation of Neotethys subduction", Journal of Asian Earth Sciences 30 (2007) 474-489.
- [6] Azizi, H, Asahara Y., Mehrabi B., Chung S.L., "Geochronological and geochemical constraints on the petrogenesis of high-K granite from the Suffi abad area, Sanandaj-Sirjan Zone, NW Iran", Geochemistry 71 (2011) 363-376.

- [25] Nazemzadeh M., Rashidi A., "Geological map of the Dehsard (Bezar), Scale 1:100,000", Geological Survey of Iran, Sheet (2006) 7347.
- [26] Shelley D., "Igneous and metamorphic rocks under the microscope: classification, textures, microstructures and mineral preferred-orientations", Chapman and Hall (1993) 445p.
- [27] Morimoto N., "Nomenclature of pyroxenes", Mineralogy and Petrology 39 (1988) 55-76.
- [28] Paplke J., Cameron K., Baldwin K., "Amphiboles and pyroxenes: characterization of other then quadrilateral components and estimates of ferric iron from microprobe data", Geol. Soc. Amer. Abstracts (1974) 1053-1054.
- [29] Berger J., Féménias O., Mercier J.C.C., Demaiffe D., "Ocean-floor hydrothermal metamorphism in the Limousin ophiolites (western French Massif Central): evidence of a rare preserved Variscan oceanic marker", journal of Metamorphic geology 23 (2005) 795-812.
- [30] Le Bas M.J., "The role of aluminum in igneous clinopyroxenes with relation to their parentage", American Journal of Science 260 (1962) 267-288.
- [31] Deer, W. A., Howie R. A., Zussman J., "An introduction to the rock-forming minerals", Longman Scientific & Technical Hong Kong (1992).
- [32] Leake B.E., Woolley A. R., Arps C. E., Birch, W. D., Gilbert, M. C., Grice J. D., Hawthorne F. C., Kato A., Kisch H. J., Krivovichev V. G., Report. Nomenclature of amphiboles: report of the subcommittee on amphiboles of the international mineralogical association commission on new minerals and mineral names", Mineralogical magazine 61 (1997) 295-321.
- [33] Sial, A., Ferreira V., Fallick A., Cruz M.J.M., "Amphibole-rich clots in calc-alkalic granitoids in the Borborema province, northeastern Brazil", Journal of South American Earth Sciences, 11 (1998) 457-471.
- [34] Agemar T., Wörner G. Heumann A., "Stable isotopes and amphibole chemistry on hydrothermally altered granitoids in the North Chilean Precordillera: a limited role for meteoric
- [16] Gill R., "Igneous rocks and processes: a practical guide", John Wiley & Sons (2010).
- [17] Zhu Y., Ogasawara Y., "Clinopyroxene phenocrysts (with green salite cores) in trachybasalt: implications for two magma chambers under the Kokchetav UHP massif, North Kazakhstan", Journal of Asian Earth Sciences 22 (2004) 517-527.
- [18] Avanzinelli R., Bindi L., Menchetti S., Conticelli S., "Crystallisation and genesis of peralkaline magmas from Pantelleria Volcano, Italy: an integrated petrological and crystal-chemical study", Lithos 73 (2004) 41-69.
- [19] Molina J., Scarrow J., Montero P.G., Bea F., "High-Ti amphibole as a petrogenetic indicator of magma chemistry: evidence for mildly alkali hybrid melts during evolution of Variscan basic-ultrabasic magmatism of Central Iberia", Contribution to Mineralogy and Petrology 158 (2009) 69-98.
- [20] Berberian, M., "Active Tectonics and Geologic Setting of the Iranian Plateau, in Developments in Earth Surface Processes", Elsevier (2014) 151-171.
- [21] Falcon N.L., "Southern Iran: Zagros Mountains", Geological Society, London, Special Publications 4 (1974) 199-211.
- [22] Omrani J., Agard P., Whitechurch H., Benoit M., Prouteau G., Jolivet L., "Arc-magmatism and subduction history beneath the Zagros Mountains, Iran: a new report of adakites and geodynamic consequences", Lithos 106 (2008) 380-398.
- [23] Sepahi A.A., Athari S.F., "Petrology of major granitic plutons of the northwestern part of the Sanandaj-Sirjan Metamorphic Belt, Zagros Orogen, Iran: with emphasis on A-type granitoids from the SE Saqqez area", Neues Jahrbuch für Mineralogie-Abhandlungen: Journal of Mineralogy and Geochemistry, 183 (2006) 93-106.
- [24] Baharifar A., Moinevaziri H., Bellon H., Piqué A., "The crystalline complexes of Hamadan (Sanandaj-Sirjan zone, western Iran): metasedimentary Mesozoic sequences affected by Late Cretaceous tectono-metamorphic and plutonic events", Comptes Rendus Geoscience 336 (2004) 1443-145.

- [44] Sadeghian M., Minggu Z., "Mineral chemistry and Thermobarometry of Middle Jurassic diabasic dikes Cutting metamorphic-igneous Shotor-Kuh complex (SE Shahrood)", Iranian Journal of Crystallography and Mineralogy 26 (2019) 915-928.
- [45] Bindi L., Cellai D., Melluso L., Conticelli S., Morra V., Menchetti S., "Crystal chemistry of clinopyroxene from alkaline undersaturated rocks of the Monte Vulture Volcano, Italy", Lithos 46 (1999) 259-274.
- [46] Aydin F., Karsli O., Sadiklar M.B., "Compositional Variations, Zoning Types and Petrogenetic Implications of Low-pressure Clinopyroxenes in the Neogene Alkaline Volcanic Rocks of Northeastern Turkey", Turkish Journal of Earth Sciences 18 (2009) 163-186.
- [47] Soesoo A., "A multivariate statistical analysis of clinopyroxene composition: Empirical coordinates for the crystallisation PT-estimations", GFF (1997) 55-60.
- [48] Nimis P., Taylor W.R., "Single clinopyroxene thermobarometry for garnet peridotites. Part I. Calibration and testing of a Cr-in-Cpx barometer and an enstatite-in-Cpx thermometer", Contributions to Mineralogy and Petrology 39 (2000) 541-554.
- [49] Putirka K.D., "Thermometers and barometers for volcanic systems", Reviews in mineralogy and geochemistry 69 (2008) 61-120.
- [50] Anderson J.L., "Status of thermobarometry in granitic batholiths", Earth and Environmental Science Transactions of the Royal Society of Edinburgh 87 (1996) 125-138.
- [51] Blundy J.D., Holland T.J., "Calcic amphibole equilibria and a new amphibole-plagioclase geothermometer", Contributions to mineralogy and petrology 104 (1990) 208-224.
- [52] Schmidt M.W., "Amphibole composition in tonalite as a function of pressure: an experimental calibration of the Al-in-hornblende barometer", Contributions to mineralogy and petrology 110 (1992) 304-310.
- water?" Contributions to Mineralogy and Petrology 136 (1999) 331-344.
- [35] Chivas A.R., "Geochemical evidence for magmatic fluids in porphyry copper mineralization", Contributions to Mineralogy and Petrology 78 (1982) 389-403.
- [36] Schweitzer E., Papike J., Bence A., "Statistical analysis of clinopyroxenes from deep-sea basalts", American Mineralogist 64 (1979) 501-513.
- [37] Helz R.T., "Phase relations of basalts in their melting range at  $\text{PH}_2\text{O} = 5 \text{ kb}$  as a function of oxygen fugacity: part I. Mafic phases", Journal of Petrology 14 (1973) 249-302.
- [38] Kamenetsky V. S., Maas R., Sushchevskaya N.M., Norman M.D., Cartwright I., Peyve A.A., "Remnants of Gondwanan continental lithosphere in oceanic upper mantle: Evidence from the South Atlantic Ridge", Geology 29 (2001) 243-246.
- [39] Leterrier J., Maury R.C., Thonon P., Girard D., Marchal M., "Clinopyroxene composition as a method of identification of the magmatic affinities of paleo-volcanic series", Earth and planetary science letters 59 (1982) 139-154.
- [40] Beccaluva L., Macciotta G., Piccardo G.B., Zeda O., "Clinopyroxene composition of ophiolite basalts as petrogenetic indicator", Chemical Geology 77 (1989) 165-182.
- [41] Nisbet E.G. Pearce J.A., "Clinopyroxene composition in mafic lavas from different tectonic settings", Contributions to mineralogy and petrology 63 (1977) 149-160.
- [42] Loucks R.R., "Discrimination of ophiolitic from nonophiolitic ultramafic-mafic allochthons in orogenic belts by the Al/Ti ratio in clinopyroxene", Geology 18 (1990) 346-349.
- [43] Coltorti M., Bonadiman C., Faccini B., Grégoire M., O'Reilly S. Y., Powell W., "Amphiboles from suprasubduction and intraplate lithospheric mantle", Lithos 99 (2007) 68-84.